

УДК 549.212 : 537.531 : 535.34 : 541.6

О ПРИРОДЕ ХИМИЧЕСКОЙ СВЯЗИ В СЛОИСТЫХ  
СОЕДИНЕНИЯХ ГРАФИТА С ПЕРЕХОДНЫМИ МЕТАЛЛАМИ

Тремел В., Хоффманн Р., Вольпин М. Е.,  
Новиков Ю. Н.

Химический факультет Корнельского университета, Итака, США  
Институт элементоорганических соединений им. А. Н. Несмеянова  
Академии наук СССР, Москва

Рассмотрено современное состояние вопроса о строении комплексов графита с переходными металлами. Проведен квантово-химический расчет модельного соединения — π-комплекса кластера  $\text{Fe}_4$ , содержащего в качестве лиганда ароматические сетки графита.

Слоистые соединения графита (ССГ) с переходными металлами, описанные впервые в шестидесятых годах [1—8], состоят из атомов переходного металла, расположенных между сетками графита. Основной метод их получения состоит в восстановлении ССГ с хлоридами металлов различными восстановителями: натрием в жидким аммиаке [3—10], ароматическими анион-радикалами [1, 2, 8, 10—17], металлическим калием [16], электрическим током [18—21]. Имеются и другие пути синтеза подобных соединений, такие, как прямое внедрение лантанидов в графит [22—24] или действие солей металлов на ССГ с калием состава  $\text{C}_8\text{K}$  [25—27].

Большое значение имеет вопрос о строении ССГ с переходными металлами. На основании представлений об ароматическом характере сеток графита в [1, 2, 8, 14] проводили аналогию между ССГ с переходными металлами и молекулярными π-комплексами переходных металлов. Эта аналогия предполагает, что в ССГ с переходными металлами атомы металлов образуют с сетками графита π-комpleксы ароматического, олефинового или аллильного типа. Доказы в пользу такого предположения основаны на данных рентгенографических исследований этих соединений, методов гамма-резонансной (ГР), рентгенофлуоресцентной (РФ) и EXAFS-спектроскопии.

Из рентгенографических данных следует, что толщина заполненного слоя в ССГ-Сr и ССГ-Мо составляет 3,2 и 3,75 Å [9], что близко к удвоенному расстоянию металлов — лиганд в ароматических комплексах этих металлов, равному соответственно 3,22 и 3,8 Å [28, 29], и свидетельствует о сэндвичевом строении ССГ-Сr и ССГ-Мо. На это же указывает их диамагнетизм, а также данные РФ-спектроскопии [9, 30, 31].

Иное строение имеют ССГ с палладием. Толщина заполненного слоя в этих соединениях составляет 4,3 Å [13] и соответствует расстоянию между молекулами бензола в  $(\text{C}_6\text{H}_5)_2\text{Pd}_2(\text{Al}_2\text{Cl}_7)_2$  [32]. Такое соответствие может указывать на то, что сетки графита в ССГ с палладием выступают одновременно как олефиновые и диеновые лиганда, а атомы палладия находятся в степени окисления (1+). Последнее предположение согла-суется с данными рентгеноэлектронной спектроскопии [33].

Сложнее оказался вопрос о строении ССГ-Fe, ССГ-Co, ССГ-Ni и ССГ-Mn. Рентгенографические данные дают толщину заполненного слоя для этих соединений 5,4—5,9 Å [9, 10, 18, 19, 21, 26]. Если предполагать монослоистое расположение атомов металла в межплоскостном пространстве графита, то наблюдаемые толщины заполненного слоя свидетельст-

## СЛОИСТЫХ МИ МЕТАЛЛАМИ

М. Е.,

гета, Итака, СИА  
и. А. Н. Несмеянова  
а

строении комплексов  
химический рас-  
 $\text{Fe}_4$ , содержащего в

ными металлами, описаны из атомов переходных металлов. Основной метод — придаче [3—10], ароматическим калием [16], путем синтеза подобных соединений в графит [22—24] и тава  $\text{C}_8\text{K}$  [25—27].

с переходными металлами, имеющим характере сеток графита ССГ с переходными металлами. Эта моделью атомы металла, атомы межсетчатого, олефинового предположения о расположении этих соединений, спектральной (РФ) и EXAFS-

толщина заполненного слоя, что близко к удвоенным значениям в комплексах этих соединений [29], и свидетельствует о том, что они имеют диамагнитные свойства [31].

толщина заполненного слоя соответствует расстоянию между слоями графита. Такое соответствие между палладием выступают в виде атомов, а атомы палладия в виде кластеров. Предположение согласовано с данными [33].

ССГ-Со, ССГ-Ни и ССГ-Мн в заполненном слое для ССГ-Мн [3]. Если предполагать в межсетчатом пространстве и слое свидетельствует

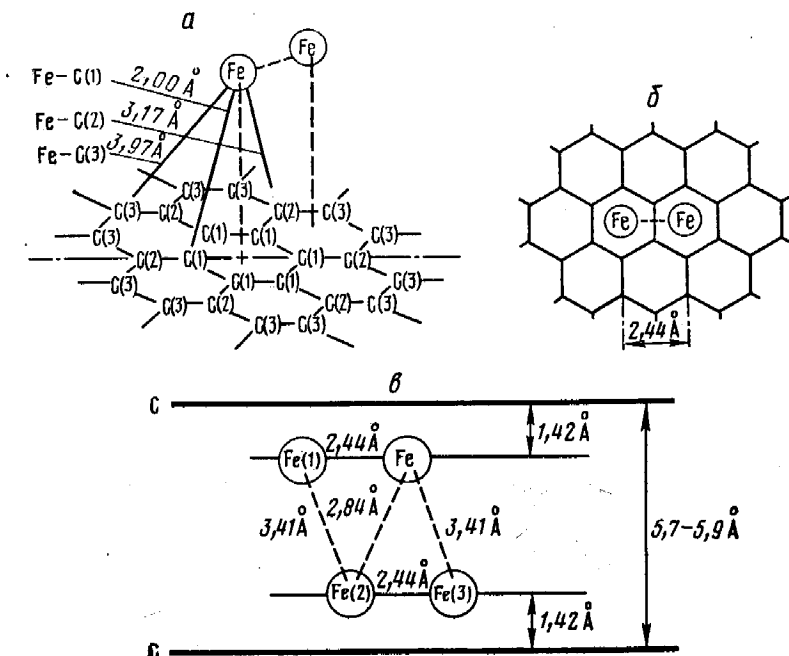


Рис. 1. Модель строения ССГ-Fe, вытекающая из данных EXAFS [38]: *а* — расположение атомов железа относительно сеток графита, *б* — проекция димеров  $\text{Fe}_2$  на сетку графита, *в* — общая модель строения ССГ-Fe

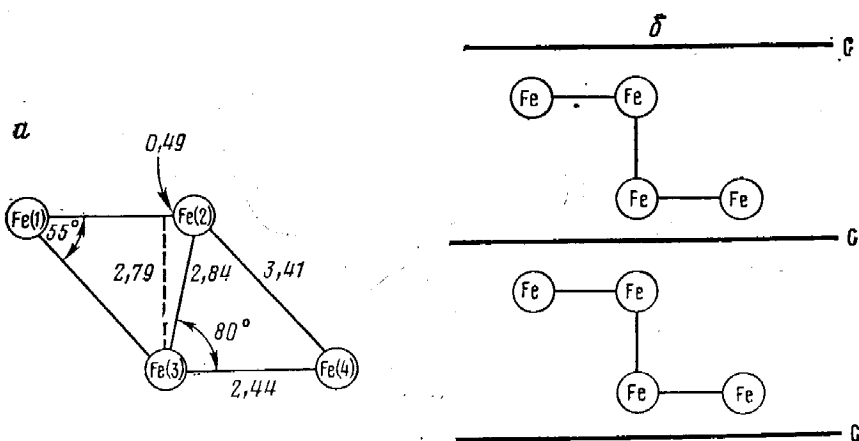


Рис. 2. Модель кластера  $\text{Fe}_4$ , принятая в расчетах (*а*), и схематическое представление расположения кластеров  $\text{Fe}_4$  между слоями графита (*б*)

вуют о ван-дер-ваальсовом взаимодействии между атомами металла и сеткой графита, поскольку их значения соответствуют сумме удвоенного атомного радиуса металла и ван-дер-ваальсовой толщины сетки графита. Например, для ССГ-Fe эта сумма составляет 5,9 Å ( $2 \times 1,28 + 3,35$ ). С другой стороны, исследование ССГ-Fe методами ГР- и РФ-спектроскопии показало, что железо в них присутствует в основном в двух формах: в виде атомов железа, находящихся в межплоскостном пространстве и образующих π-комpleksы с сетками графита, и в виде кластеров  $\alpha$ -Fe вне структуры графита [9, 10, 17, 18, 34, 35]. Соотношение между формами зависит от условий восстановления, и в оптимальных условиях образуются соединения, в которых до 90% всего железа присутствует в виде π-комплексов с сетками графита. Данные ГР- и РФ-спектроскопии для ССГ-Со и РФ-спектроскопии для ССГ-Мн свидетельствуют о том, что атомы металла в этих соединениях также образуют π-комплексы с сетками графита [36, 37]. Таким образом, имеется определенное противоречие между рентгенографическими данными и данными ГР- и РФ-спектроскопии.

оставля  
ние Fe—  
может ул  
фита и  
до други  
ими пр  
рах про  
ся к рас  
рами с  
расстоя  
ми желе  
ченных  
ная на

Таки  
пии ука  
графита  
с сетка  
щей ра  
ния —  
Мы  
состава  
Мод  
EXAFS  
предста  
ния ог  
ла в  
фрагме  
Длина  
графил  
Иде  
нокли  
ма Fe  
рис. 3

Сле  
которо  
ячейко  
по кр  
модели  
ной я  
четы и  
модел  
В это  
длина  
тетраг  
распо  
Рассст  
от гео  
ни м  
модел  
углер  
мами  
Д  
43],  
лей)  
испо  
метро  
мы и  
желе  
испо  
ные  
зова

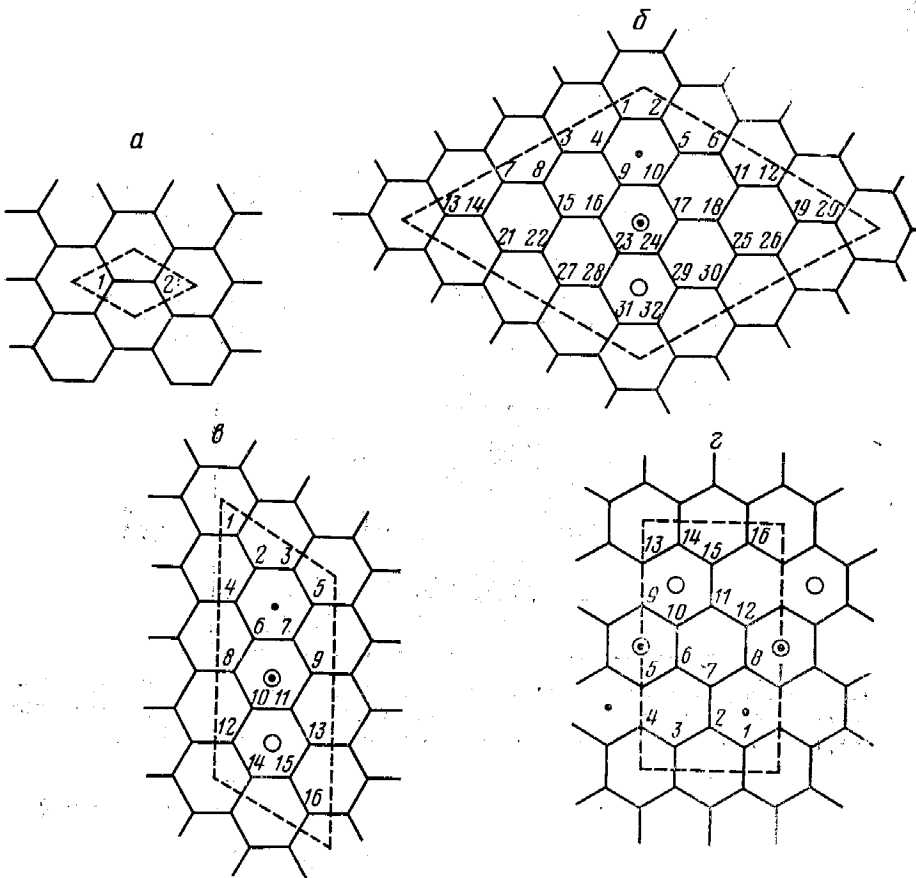


Рис. 3. Строение сетки графита (а) и проекции атомов железа на графитовую плоскость для различных способов регулярного расположения кластеров  $\text{Fe}_4 : \text{Fe}_4\text{C}_{32}$  (б),  $\text{Fe}_4\text{C}_{18}$  (в); темные точки — атомы железа над плоскостью графита, светлые — под плоскостью графита

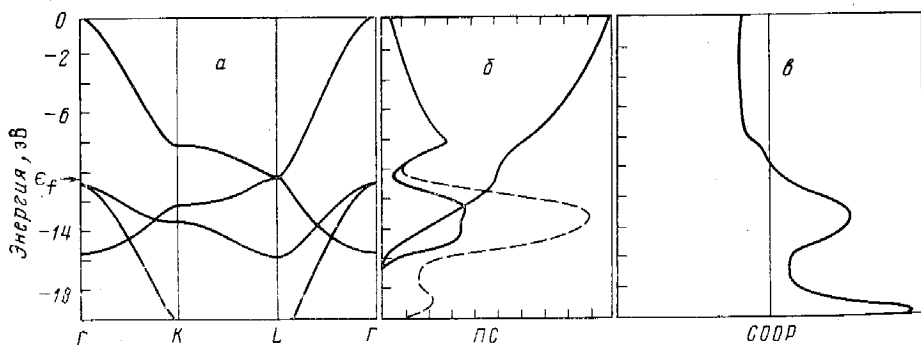
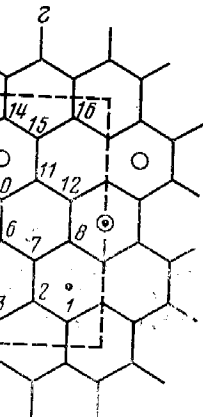
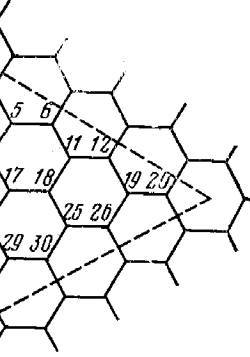
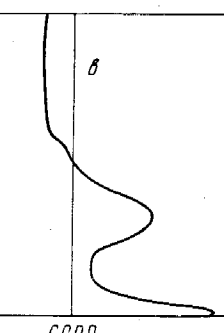


Рис. 4. Энергетическая зонная структура двумерного слоя графита (а). Полная плотность состояний (сплошная линия) и ее  $p_z$ -составляющая (б, пунктирная линия). Крайняя заселенности перекрывания кристаллических орбиталей (СООР) для связи С—С в графитовом слое (в). Уровень Ферми обозначен сбоку

Окончательный вопрос о структуре этих ССГ был решен с помощью метода EXAFS. Для ССГ-Fe было найдено, что в межплоскостном пространстве реализуется двухслойное расположение атомов железа [38]. Атомы железа в каждом слое образуют димеры, расположенные параллельно слоям графита, причем атомы железа находятся над центрами соседних шестиугольников ближайшей сетки графита на расстоянии 1,42 Å от этой сетки (рис. 1). Расстояние Fe—C(1), Fe—C(2) и Fe—C(3)



графитовую плоскость в  $\text{Fe}_4 : \text{Fe}_4\text{C}_{32}$  (б),  $\text{Fe}_4\text{C}_{16}$ , светлые — под плос-



фита (а). Полная плотно-пакетированная линия). Кристалл ССОР для связи С—С и сбоку

решен с помощью  
жил плоскостном про-  
мов железа [38].  
положенные парал-  
лелься над центрами  
ита на расстоянии  
 $\text{Fe}-\text{C}(2)$  и  $\text{Fe}-\text{C}(3)$

составляют 2,00; 3,20 и 3,97 Å соответственно (рис. 1, а), причем расстояние  $\text{Fe}-\text{C}(2)$  близко к расстоянию  $\text{Fe}-\text{C}$  в ферроцене (2,05 Å) [39]. Это может указывать на одинаковый характер взаимодействия Fe—сетка графита и Fe—циклогексадиенильное кольцо. Расстояние от атомов железа до другой сетки графита существенно больше (4,04—4,5 Å) и связь между ними практически отсутствует. Кроме расстояний  $\text{Fe}-\text{C}$  в EXAFS-спектрах проявляются также расстояния  $\text{Fe}-\text{Fe}$ . Одно из них (2,44 Å) относится к расстоянию  $\text{Fe}-\text{Fe}$  в димерах и совпадает с расстоянием между центрами соседних шестиугольников сетки графита (рис. 1, б). Два других расстояния (2,82 и 3,41 Å) могут относиться к расстояниям между атомами железа, находящимися у соседних сеток графита. На основании полученных данных была предложена модель строения ССГ-Fe, представленная на рис. 1, в.

Таким образом, данные EXAFS, а также данные ГР и РФ-спектроскопии указывают на то, что атомы железа образуют π-комpleксы с сетками графита. Естественно возникает вопрос о природе связи атомов железа с сетками графита и между собой в этих комплексах. Поэтому в настоящей работе проведен квантово-химический расчет модельного соединения — кластера  $\text{Fe}_4$ , содержащего в качестве лигандов сетки графита.

Мы построили несколько идеальных моделей кристаллов ССГ-Fe состава  $\text{C}_8\text{Fe}$ , близкого к экспериментальному, и содержащих кластеры  $\text{Fe}_4$ .

Модель кластеров  $\text{Fe}_4$ , принятая в расчете, соответствует данным EXAFS (рис. 2, а). Расположение этих кластеров в графите схематически представлено на рис. 2, б, а один из способов регулярного их расположения относительно сеток графита показан на рис. 3, б. Структура кристалла в целом описывается трансляцией таких протяженных двумерных фрагментов в направлении оси  $C$ , перпендикулярной плоскости графита. Длина вектора трансляции равна расстоянию между соседними сетками графита в ССГ, которое в расчетах приняли равным 5,9 Å [9].

Идеальному кристаллу  $\text{C}_8\text{Fe}$  описанного выше типа соответствует моноклинная элементарная ячейка, содержащая 32 атома углерода и 4 атома Fe. Другие возможные модели строения ССГ-Fe представлены на рис. 3, в, г.

Следует отметить, что в отличие от графита, электронное строение которого можно исследовать в двумерном приближении с элементарной ячейкой, показанной на рис. 3, а, для ССГ-Fe необходимо учитывать по крайней мере две сетки графита. Поэтому использование двумерной модели для ССГ-Fe нецелесообразно, так как это приводит к элементарной ячейке со слишком большим числом атомов. В связи с этим все расчеты проводили для трехмерного кристалла. При дальнейшем упрощении модели выбирали элементарную ячейку так, как это показано на рис. 3, г. В этом случае стехиометрия кристалла соответствует формуле  $\text{C}_4\text{Fe}$ , длина вектора трансляции в направлении оси  $C$  сохраняется неизменной, тетramerы Fe в одном межплоскостном пространстве достаточно далеко расположены друг от друга и их взаимодействием можно пренебречь. Расстояние между атомами железа, расположенными по разные стороны от гексагональной сетки графита, равно 2,84 Å при выбранном расстоянии между сетками графита 5,9 Å. Существенное отличие этой модели от модели, приведенной на рис. 1, заключается в том, что шестичленный углеродный цикл одной сетки графита одновременно связан с двумя атомами железа, расположенными по разные стороны от сетки графита.

Для расчета использовали расширенный метод Хюкеля (PMX) [40—43], адаптированный для твердого тела (метод кристаллических орбиталей) [44, 45]. Для атомов углерода были выбраны значения параметров, используемые обычно для молекул [40—43]. При этих значениях параметров уровень Ферми для графита равен —10,87 эВ. Для атомов железа мы использовали два набора параметров. Один — типичный для атомов железа в металлоорганических комплексах [46], а другой был ранее использован для расчета кристаллов железа и поверхностей [47]. Основные результаты, приведенные в настоящей работе, получены при использовании молекулярных параметров. Однако в конце кратко обсуждаются

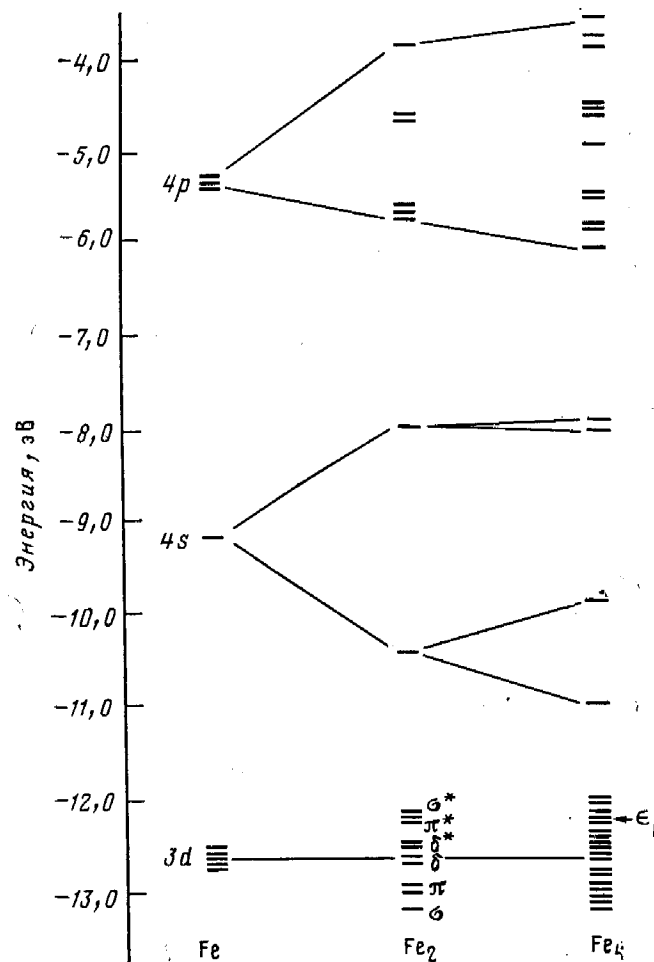


Рис. 5. Диаграмма взаимодействия четырех атомов железа в кластере  $\text{Fe}_4$ . Слева уровни энергии изолированных атомов железа; в середине — уровни энергии димера  $\text{Fe}_2$ . Показано характерное расщепление энергии  $d$ -орбиталей на  $\sigma$ ,  $\pi$ - и  $\delta$ -орбитали за счет образования связи металл—металл в димере  $\text{Fe}_2$ . Справа — кластеры  $\text{Fe}_4$ . Уширение энергии  $3d$ -орбиталей до «зон». Уровень Ферми указан стрелкой

результаты расчетов, выполненных с твердотельными параметрами для атомов железа.

Зонная структура двумерных графитовых слоев показана на рис. 4, а, а соответствующие плотности состояний (ПС) и вклады  $p_z$  ( $\pi$ )-орбиталей в ПС приведены на рис. 4, б. На рис. 4, в показана заселенность перекрывания кристаллических орбиталей (СООР) для связей С—С графита.

Несколько пояснений по поводу плотности состояний и СООР [48]. Плотности состояний широко используются в физике твердого тела и характеризуют число состояний в данном энергетическом интервале. Следует отметить, что характеристическому «провалу» вблизи уровня Ферми, а также энергиям, расположенным выше уровня Ферми, соответствуют  $\pi$ -орбитали, тогда как состояния, расположенные по энергии ниже уровня Ферми, соответствуют как  $\sigma$ -, так и  $\pi$ -состояниям [41, 45, 49, 50].

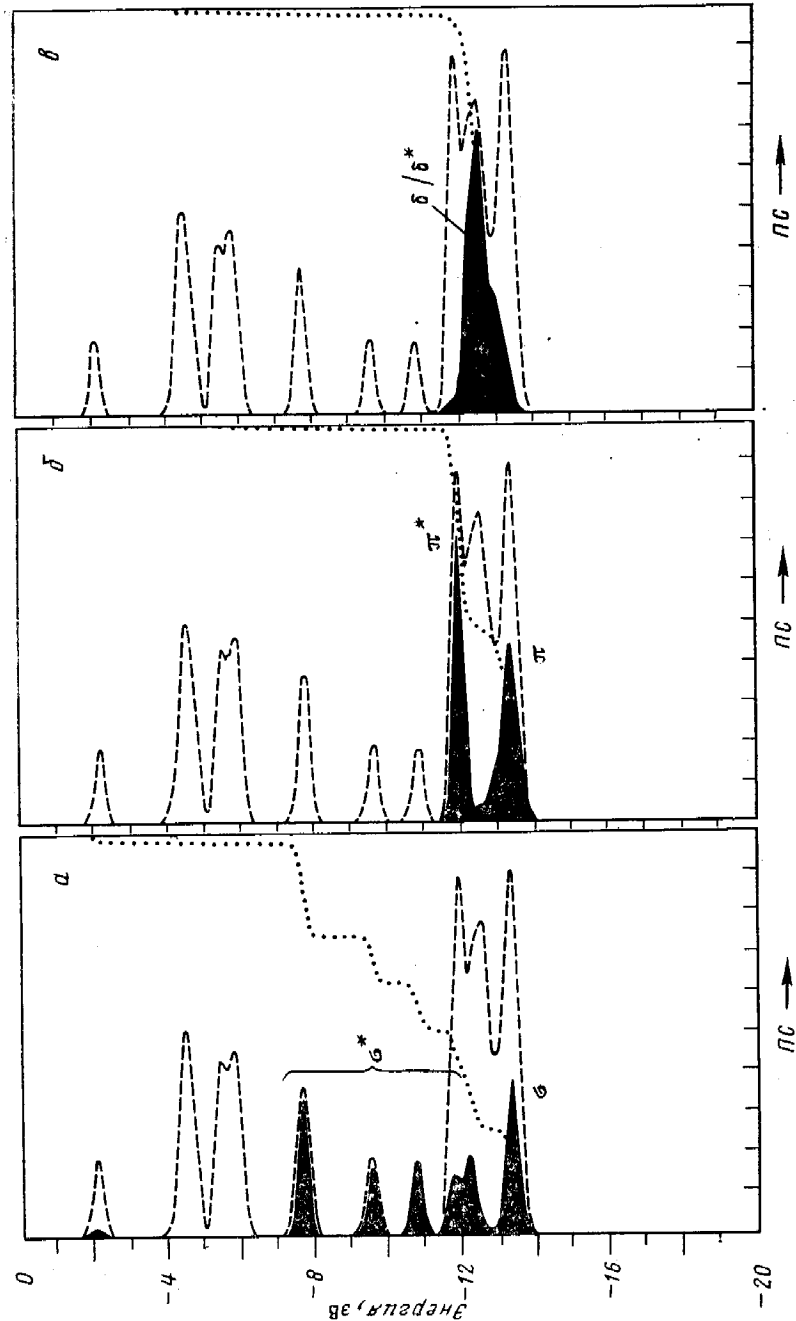
СООР характеризует долю заселенности перекрывания состояний, соответствующих данному энергетическому интервалу [48]. Следует отметить, что уровень Ферми является границей между связывающими и разрывающими состояниями связи С—С. В случае графита можно ожидать, что более электроположительные внедренные вещества будут передавать свои электроны в зону  $p_z$ , а более электросорциательные — забирать электроны с углерод-углеродных связей. В обоих случаях плотности

тере  $\text{Fe}_4$ . Слева уровень энергии димера  $\text{Fe}_2$ , и  $\delta$ -орбитали за счет четырех  $\text{Fe}_4$ . Уширение стрелкой

параметрами для зана на рис. 4, *a*,  $p_z$  ( $\pi$ )-орбиталей единство перекрытий С—С графита. и СООР [48]. твердого тела и ском интервале. вблизи уровня Ферми, соответствующие по энергии гояниям [41, 45,

ния состояний, [48]. Следует отмечать, что связывающими и антисвязывающими орбитами можно ожидать, что будут переносимые — заблокированные — участки плотности

Рис. 6. Разложение плотности состояний для кластера  $\text{Fe}_4$  (подрешетка железа, внедренного в графит, показана на рис. 3, *e*) на  $\sigma$ -,  $\pi$ - и  $\delta$ -составляющие фрагментов  $\text{Fe}_2$ . Полная плотность состояния представлена во всех случаях пунктирной линией. Закрашенная область соответствует вкладам орбиталей  $\sigma$ ,  $\sigma^*$  (*a*);  $\pi$ ,  $\pi^*$  (*b*);  $\delta$ ,  $\delta^*$  (*c*) димера  $\text{Fe}_2$



состояний на уровне Ферми, а также проводимость графита будут возрастиать [51].

Кластер  $\text{Fe}_4$ , показанный на рис. 2, *a*, умозрительно можно сконструировать из двух димеров  $\text{Fe}_2$ . Электронная структура может быть легко получена из диаграммы взаимодействия, представленной на рис. 5. Взаимодействие двух атомов железа приведет к образованию связывающих и разрывающих  $\sigma$ ,  $\pi$  и  $\delta$  3d-орбиталей металла. Вследствие взаимодействия фрагментов  $\text{Fe}_2$  происходит расщепление орбиталей  $s$ ,  $z^2$ ,  $xy$  и  $yz$ , при этом основной вклад в образование связи вносят орбитали  $s$  и  $z^2$ . Отметим, что  $\sigma^*$ -орбита по энергии лежит ниже, чем  $\pi^*$ . Причина мо-

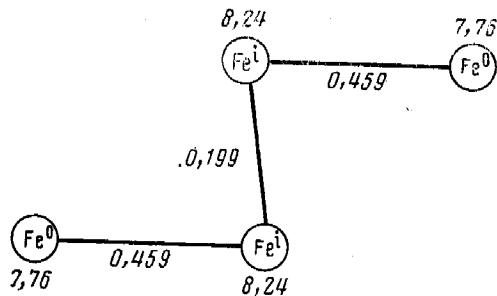


Рис. 7. Заселенность атомов и заселенности перекрывания связей  $\text{Fe}-\text{Fe}$  в кластере  $\text{Fe}_4$  (подрешетка  $\text{Fe}_4$  показана на рис. 3, *2*).

жет заключаться в смешивании 4s- и 4p-орбиталей с 3d-орбиталью, что приводит к стабилизации  $\sigma^*$ -орбитали. В кластере  $\text{Fe}_4$  энергии МО уширяются, образуя дискретные зоны. Однако взаимного пересечения 4s-, 4p- и 3d-зон не наблюдается, что является следствием выбора параметров [46, 47].

Иной способ представления результатов может заключаться в построении диаграмм плотности состояний, как это показано на рис. 6. Полная плотность состояния может быть разложена на  $\sigma$ -,  $\pi$ - и  $\delta$ -составляющие фрагментов  $\text{Fe}_2$  (рис. 6, *a*—*в*). Картина соответствует нашим ожиданиям: состояния  $z^2$  уширены, так как они вовлечены в вертикальное связывание между атомами железа  $\text{Fe}^i$  и  $\text{Fe}^i$ . Найденные значения эффективных зарядов и заселенности перекрывания приведены на рис. 7, а значения заселенности 3d-орбиталей  $\text{Fe}^0$  и  $\text{Fe}^i$  приведены ниже:

3d-Орбитали	$x^2-y^2$	$z^2$	$xy$	$xz$	$yz$
$\text{Fe}^i$	1,77	1,79	1,01	1,54	1,99
$\text{Fe}^0$	1,77	1,63	0,99	1,15	2,00

Внедрение кластера  $\text{Fe}_4$  между графитовыми слоями ведет к значительному смешиванию орбиталей железа и углерода (подобно соединениям внедрения графита со щелочными металлами). Это ясно видно из рис. 8; состояния энергий, близких к уровню Ферми, почти в равной степени состоят из орбиталей железа и углерода. Так как состояния железа не полностью заполнены, уровень Ферми расположен выше, чем находится максимум на кривой плотности состояний. Эти материалы должны быть хорошими проводниками.

Более детальное исследование затруднено из-за низкой симметрии модели. В упорядоченной структуре имеются уже четыре типа атомов углерода, связанных с тремя, двумя или одним атомом железа, либо не связанных с железом вовсе, и два типа атомов железа ( $\text{Fe}^0$  и  $\text{Fe}^i$ ), каждый из которых имеет три различных типа орбиталей ( $x^2 - y^2$ ,  $xy$ ;  $z^2$ ;  $xz$ ,  $yz$ ). За изменениями в связывании кластера  $\text{Fe}_4$  в результате внедрения можно проследить, используя разложение орбиталей кластеров  $\text{Fe}_4$  на орбитали фрагмента  $\text{Fe}_2$ .

Полученные результаты представлены в табл. 1 и 2. Их можно интерпретировать непосредственно в терминах модели типа Дьюара — Чат-

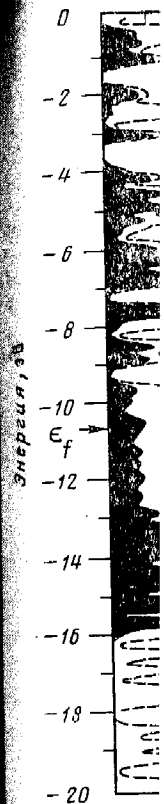


Рис. 8. Диаграмма плотности состояний.

сть графита будут воз-

рительно можно скон-  
струюра может быть  
представленной на рис. 5.  
образованию связываю-  
щая. Вследствие взаимо-  
орбиталей  $s$ ,  $z^2$ ,  $xy$  и  
вносят орбитали  $s$  и  $z^2$ ,  
чем  $\pi^*$ . Причина мо-

7,75  
 $Fe^0$

перекры-  
вка  $Fe_4$  по-

с  $3d$ -орбиталями, что  
 $Fe_4$  энергии МО уши-  
ченного пересечения  $4s$ ,  
при выборе параметров

заключаться в пост-  
ано на рис. 6. Пол-  
 $\sigma$ ,  $\pi$ - и  $\delta$ -составляю-  
ют нашим ожида-  
ны в вертикальное  
ные значения эффек-  
тивены на рис. 7,  
веденены ниже:

$yz$   
1,99  
2,00

ями ведет к значи-  
(подобно соединени-  
Это ясно видно из  
ми, почти в равной  
как состояния же-  
положен выше, чем  
ий. Эти материалы

низкой симметрии  
четыре типа атомов  
ом же железа, либо  
за ( $Fe^0$  и  $Fe^+$ ), каж-  
( $x^2 - y^2$ ,  $xy$ ;  $z^2$ ,  $xz$ ,  
результате внедрения  
кластеров  $Fe_4$  на

. Их можно интер-  
на Дьюара — Чат-

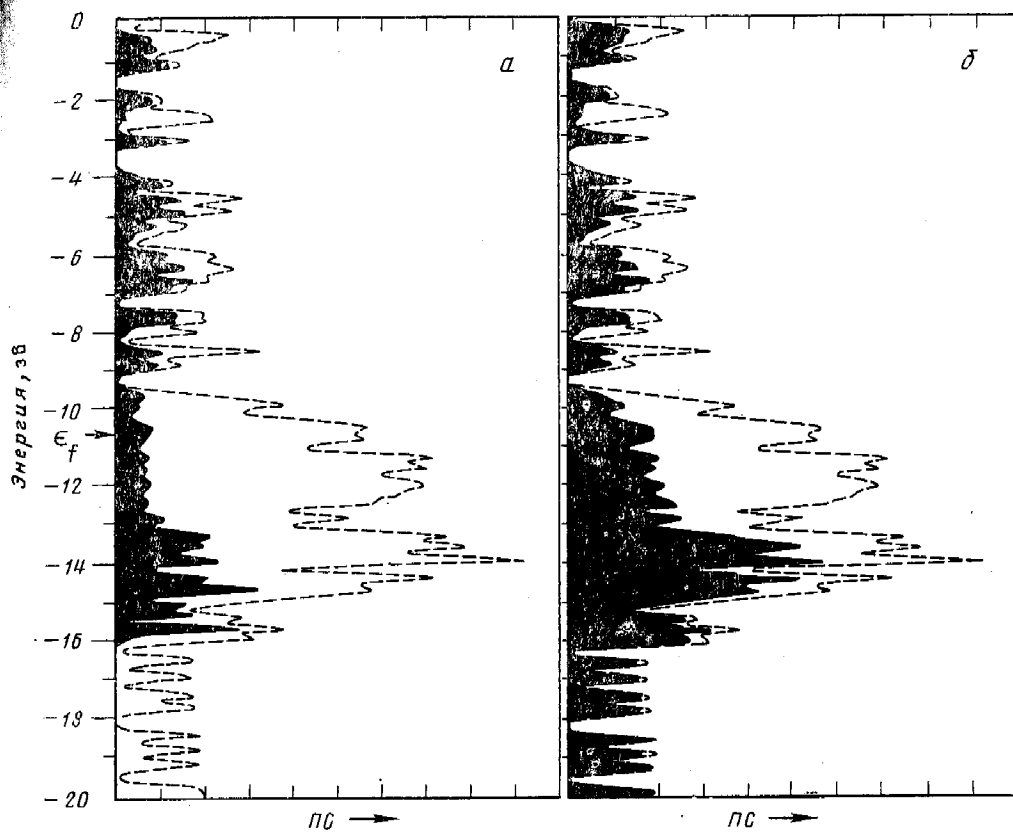


Рис. 8. Диаграмма плотности состояний для соединения  $C_{16}Fe_4$ . Пунктирная линия — общая плотность состояний; закрашенная область показывает вклады атомов Fe (a) и C (b). Уровень Ферми указан сбоку

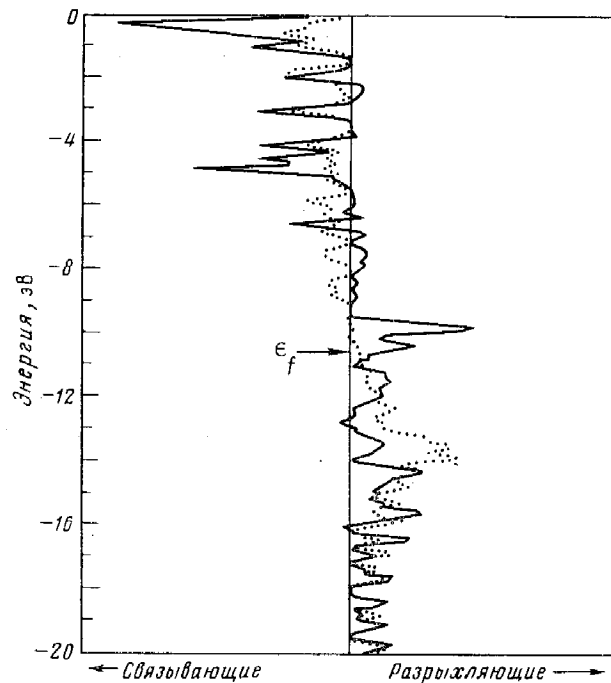


Рис. 9. Кривые заселенности перекрывания кристаллических орбиталей (COOP) для «слабых» (сплошная линия) и «сильных» (пунктирная линия) связей С—С в соединениях внедрения кластера  $Fe_4$  в графит

Таблица 1

Эффективные заселенности MO димеров Fe<sub>2</sub> в кластерах Fe<sub>4</sub>  
в кристалле C<sub>16</sub>Fe<sub>4</sub>, полученные при использовании молекулярных  
параметров железа ( $\epsilon_f$  — уровень Ферми)

Соединение	$\epsilon_f$	$\sigma$	$\pi$	$\delta$	$\delta^*$	$\sigma^*$	$\pi^*$	$\sigma^{**}$
Fe <sub>4</sub>	-11,87	3,98	7,90	7,85	7,74	2,76	1,53	0,08
C <sub>16</sub> Fe <sub>4</sub>	-10,57	3,49	6,51	6,41	6,26	6,16	3,31	0,88

Примечание. Для графита  $\epsilon_f = -10,83$  эВ.

Таблица 2

Заселенности АО в кластерах Fe<sub>4</sub> и в кристалле C<sub>16</sub>Fe<sub>4</sub>

Фрагмент расчета	Тип атомов	4s	4p	3d	$p_z(\text{C}(3))$	$p_z(\text{C}(2))$	$p_z(\text{C}(1))$	$p_z(\text{C}(0))$	Заселенность
Молекулярные параметры									
Fe <sub>4</sub>	Fe <sup>0</sup>	0,10	0,04	8,10	—	—	—	—	$4s^{0,13}4p^{0,05}3d^{7,82}$
	Fe <sup>i</sup>	0,16	0,06	7,54	—	—	—	—	
C <sub>16</sub> Fe <sub>4</sub>	Fe <sup>0</sup>	0,17	0,28	8,34	0,87	0,88	0,95	1,05	$4s^{0,21}4p^{0,30}3d^{8,08}$
	Fe <sup>i</sup>	0,25	0,32	7,81	3,67	3,79	3,92	4,04	
Графит	C	2s	$2P_{x,y}$	—	1,0	1,0	1,0	1,0	—
		1,132	0,934	—	1,0	1,0	1,0	1,0	
Твердотельные параметры									
Fe <sub>4</sub>	Fe <sup>0</sup>	0,43	0,03	7,43	—	—	—	—	$4s^{0,56}4p^{0,05}3d^{7,40}$
	Fe <sup>i</sup>	0,68	0,06	7,36	—	—	—	—	
C <sub>16</sub> Fe <sub>4</sub>	Fe <sup>0</sup>	0,11	0,17	6,97	1,12	1,19	1,20	1,35	$4s^{0,16}4p^{0,21}3d^{6,77}$
	Fe <sup>i</sup>	0,20	0,25	6,57	4,12	4,24	4,22	4,37	

Таблица 3

Заселенность перекрывания в соединениях C<sub>16</sub>Fe<sub>4</sub>

Fe—C(1)	Fe—C(2)	Fe—C(0)	Fe <sup>0</sup> —Fe <sup>i</sup>	Fe <sup>i</sup> —Fe <sup>i</sup>	Fe <sup>i</sup> —Fe <sup>i*</sup>	C(3)—C(3)	C(3)—C(2)	C(3)—C(1)	C(1)—C(1)	C(1)—C(0)	
0,1639	0,88	0,131	0,410	0,248	—	0,851	0,905	0,956	0,977	0,994	0,010

\* По разные стороны сетки графита.

та — Дункансона. С одной стороны, заполненные зоны графита поставляют электроны на разрыхляющие орбитали связи Fe<sup>0</sup>—Fe<sup>i</sup>, с другой стороны, наблюдается смещение электронной плотности со связывающих орбиталей связи Fe—Fe на вакантные π-разрыхляющие зоны графитового слоя. Это вытекает из рис. 4, с и 6, а—с. Основной перенос заряда происходит с π- и δ-связывающих орбиталей атома Fe<sup>i</sup> (предположительно типа  $xy$  и  $yz$ ) на орбитали π\*- и σ\*-характера. Таким образом, при использовании для Fe молекулярных параметров суммарный перенос электронов происходит от графита к железу.

Взаимодействие кластера Fe<sub>4</sub> с сеткой графита приводит к ослаблению связи Fe<sup>i</sup>—Fe<sup>0</sup>, тогда как связь Fe<sup>i</sup>—Fe<sup>i</sup> остается относительно неизменной. Причина постоянства последней может заключаться в том, что орбитали z<sup>2</sup> атома Fe<sup>i</sup> не эффективны для связывания с графитовыми слоями, поскольку атомы железа расположены над центрами шестичленных углеродных циклов графита и перекрывание z<sup>2</sup>-орбиталей железа с p<sub>z</sub>-орбиталями углерода мало.

В графитовой плоскости C—C связывание уменьшается и заселенность перекрывания C—C теперь находится в интервале 0,815—1,010. Это хорошо видно из кривых COOP, представленных на рис. 9. Уровень

Таблица 1

клusterах Fe<sub>4</sub>  
и молекулярных  
формах)

$\sigma^*$	$\pi^*$	$\sigma^{**}$
2,76	1,53	0,08
6,16	3,31	0,88

Таблица 2

атоме C<sub>16</sub>Fe<sub>4</sub>

	$p_z(C(0))$	Заселенность
—	$4s^{0,13}4p^{0,05}3d^{7,82}$	
1,05	$4s^{0,21}4p^{0,30}3d^{8,08}$	
4,04	—	
1,0	—	
—	$4s^{0,56}4p^{0,05}3d^{7,40}$	
1,35	$4s^{0,16}4p^{0,21}3d^{6,77}$	
4,37	—	

Таблица 3

в C<sub>16</sub>Fe<sub>4</sub>

C(3)—C(1)	C(2)—C(1)	C(1)—C(1)	C(1)—C(0)
,956	0,977	0,994	0,010

зоны графита постав-  
и Fe<sup>0</sup>—Fe<sup>i</sup>, с другой  
стороны со связывающими  
и разрывающими зоны графитового  
перенос заряда проис-  
шествует в предположительно ти-  
пично, при использо-  
вании переноса электро-

водит к ослаблению  
ионно-кооперативно неизмен-  
яется в том, что орби-  
тальными слоями  
шестичленных угле-  
рода железа с  $p_z$ -орбита-

ется и заселенность  
0,815—1,010. Это  
на рис. 9. Уровень

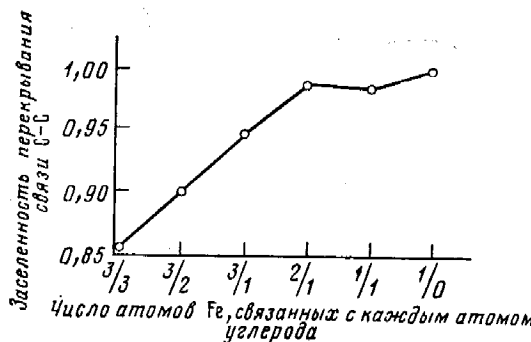


Рис. 10

Рис. 10. Зависимость заселенности перекрывания связи C—C от числа атомов железа, связанных с каждым атомом углерода связи  $C_i—C_j$  (число соседних атомов железа для  $C_i/C_j$ )

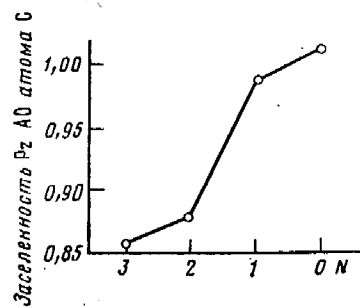


Рис. 11

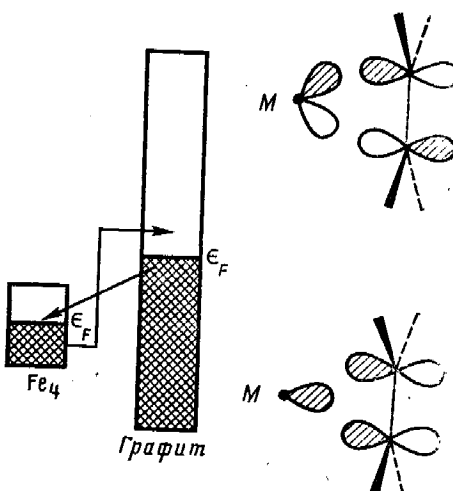
Рис. 11. Зависимость заселенности  $p_z$ -орбитали атома углерода от числа  $N$  соседних атомов железа

Рис. 12. Схематическая иллюстрация связывания кластера Fe<sub>4</sub> со слоями графита в C<sub>16</sub>Fe<sub>4</sub> (слева), показывающая аналогию с моделью Дьюара — Чатта — Дункансона (справа)

Рис. 12

Ферми графита смещается и разрыхляющие относительно связей C—C состояния теперь заполнены.

Из заселеностей перекрывания проясняется различие между разными типами связей C—C: заселенность перекрывания уменьшается с индексом числа связанных атомов железа (см. рис. 10 и табл. 3).

Подобным же образом заряд на атомах С является функцией числа соседних атомов железа: чем больше число соседних атомов железа, тем меньше заряд на атомах углерода. Другими словами, большее взаимодействие Fe—C приводит к большему переносу заряда на  $\pi$ -разрыхляющие орбитали и, как следствие, к ослаблению связи C—C (рис. 11). Орбитальная картина в этом случае подобна той, которая наблюдается для металлоорганических соединений.

Таким образом, аналогия, показанная на рис. 12, может быть полезна для объяснения связывания переходных металлов с графитом или другими углеродными полимерами с  $\pi$ -связями. На рис. 13 показаны кривые COOP для связей Fe—C и Fe—Fe в комплексах графита. Из этих кривых видно, как могут меняться длины связей в зависимости от изменения зарядового состояния. Например, окисление вещества будет следующим образом влиять на связи: сначала связь C—C становится прочнее, а затем при увеличении степени окисления — слабее; связь Fe—C будет прочнее, связь Fe—Fe — вначале прочнее, а затем слабее.

В заключение отметим, что использование в расчетах не молекулярных, а твердотельных параметров железа [47] приводит к тому, что энергия орбиталей атомов железа становится выше, и в частности, 3d-орбитали атомов железа располагаются выше уровня Ферми графита. Направление переноса электронов в этом случае при образовании соединений с графитом меняется на противоположное: от атомов железа к атомам углерода. Это приводит к тому, что кластер Fe<sub>4</sub> в графите несет положительный заряд. Атомы Fe<sup>i</sup> теряют больше электронной плотности, чем

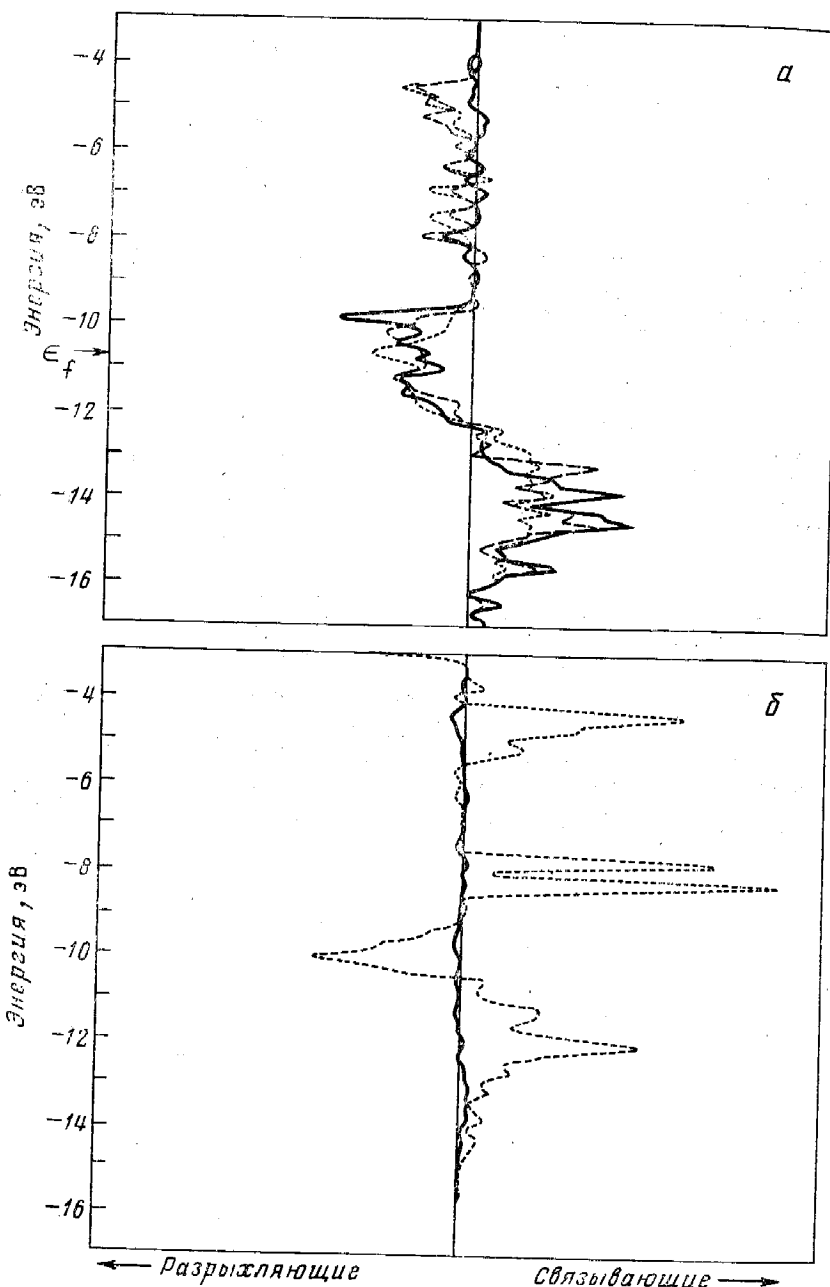


Рис. 13. Кривые заселенности перекрывания кристаллических орбиталей (COOP) для связей Fe—C (а) и Fe—Fe (б). а — Сплошная линия относится к связи Fe—C с одним соседним атомом железа; точечная — относится к связи Fe—C с двумя соседними атомами железа; пунктирированная линия относится к связи  $\text{Fe}^0$ —C, с тремя соседними атомами железа. б — Сплошная линия относится к связи  $\text{Fe}^0$ — $\text{Fe}^i$ , точечная линия относится к связи  $\text{Fe}^i$ — $\text{Fe}^i$

атомы  $\text{Fe}^0$ . Связь  $\text{Fe}^0$ — $\text{Fe}^i$  ослабляется, как и в предыдущем случае, тогда как связь  $\text{Fe}^i$ — $\text{Fe}^i$  частично упрочняется. Другие закономерности связывания являются подобными и связывание C—C в графитовом слое оказывается ослабленным, как описано выше.

В. Тремел и Р. Гоффманн благодарят Национальный научный фонд США и Немецкое общество научных исследований ФРГ за поддержку этих работ в Корнельском университете.

1. Вольни  
Сер. 2
2. Вольни  
Химиг
3. Klitz J
4. Кларк
5. Кларк
6. Кларк
7. Metz J
8. Vol'ri  
V. 97
9. Соловьев  
Т. 27
10. Новик  
Журн.
11. Стуков  
// Журн.
12. Пруссак  
Докл.
13. Пост  
Изв.
14. Нефедова  
Т. 27
15. Jadher  
Chen
16. Пост  
АН
17. Schatz  
P. 4
18. Tonozzi
19. Yazyk  
P. 1
20. Yazyk
21. Yazyk
22. Gueret
23. Marin  
P.
24. Marin  
P.
25. Unger  
197
26. Brauer  
Soc.
27. Brauer  
Soc.
28. Haas
29. Kosman  
P.
30. Коновалов
31. Коновалов
32. Allard  
Soc.
33. Пост
34. Шульц  
Пост  
T.
35. Tai  
Bo
36. Shi  
Ind.
37. Коновалов
38. Хечевский  
T.
39. Пост  
ск
40. Ноумен
41. Ноумен
42. Ноумен

ЛИТЕРАТУРА

а

1. Вольпин М. Е., Стручков Ю. Т., Новиков Ю. Н., Семион В. А. // Изв. АН СССР. Сер. хим. 1970. № 11. С. 2608.
2. Вольпин М. Е., Стручков Ю. Т., Новиков Ю. Н., Семион В. А. // Журн. общ. химии. 1971. Т. 41. № 4. С. 242.
3. Klitz H., Schneider A. // Naturwiss. 1962. B. 49. № 19. S. 448.
4. Knapprost A., Metz W. // Naturwiss. 1966. B. 53. № 6. S. 152.
5. Knapprost A., Metz W. // Naturwiss. 1969. B. 56. № 2. S. 85.
6. Knapprost A., Metz W. // Z. phys. Chem. (News Fol.) 1969. B. 64. S. 178.
7. Metz W. // Dissertation. Hamburg, 1968.
8. Vol'pin M. E., Novikov Yu. N., Lapkina N. D. et al. // J. Amer. Chem. Soc. 1975. V. 97. № 12. P. 3336.
9. Соловченко В. Л., Гуськов А. М., Калашников Я. А. // Докл. АН СССР. 1983. Т. 273. № 5. С. 1143.
10. Новиков Ю. Н., Казаков М. Е., Зварыкина А. В., Астахова И. С., Вольпин М. Е. // Журн. структур. химии. 1971. Т. 12. № 3. С. 486.
11. Стукан Р. А., Прусаков В. Е., Новиков Ю. Н., Вольпин М. Е., Гольданский В. И. // Журн. структур. химии. 1971. Т. 12. № 4. С. 622.
12. Прусаков В. Е., Стукан Р. А., Новиков Ю. Н., Вольпин М. Е., Гольданский В. И. // Докл. АН СССР. 1972. Т. 207. № 6. С. 1394.
13. Постников В. А., Салынь Л. В., Нефедов В. И., Новиков Ю. Н., Вольпин М. Е. // Изв. АН СССР. Сер. хим. 1973. № 7. С. 1689.
14. Нефедьев А. В., Стукан Р. А., Макаров В. А., Кондаков В. А., Шуваев А. Т., Лапкина Н. Д., Новиков Ю. Н., Вольпин М. Е. // Журн. структур. химии. 1980. Т. 21. № 2. С. 68.
15. Jadhar V. G., Singru R. M., Joshi G. M., Pisharody K. P., Rao C. N. // Z. phys. Chem. 1974. B. 92. № 1. S. 139.
16. Постников В. А., Нефедьев А. В., Новиков Ю. Н., Вольпин М. Е. // Изв. АН СССР. Сер. хим. 1975. № 10. С. 2381.
17. Scharff P., Stumpf E. // Proc. 4-th Intern. Carbon Conf. Baden-Baden, 1986. P. 465.
18. Tonzain Ph., Chamberod A., Briggs A. // Mater. Sci. Eng. 1977. V. 31. № 1. P. 77.
19. Yazami R., Chanteau G., Touzain Ph., Briggs A. // J. Physique. 1985. V. 46. P. 1961.
20. Yazami R., Touzain Ph., Bonnetain L. // Synth. Metals. 1983. V. 7. № 1. P. 169.
21. Yazami R. // These. Grenoble. 1985.
22. Guerard D., Herold A. // C. r. Acad. Sci. 1975. V. 281C. № 22. P. 929.
23. Markini M. El., Guerard D., Lagrange Ph., Herold A. // Carbon. 1980. V. 18. № 2. P. 203.
24. Markini M. El., Guerard D., Lagrange Ph., Herold A. // Physica. 1980. V. 99B. P. 481.
25. Ungureasu C., Palie M. // Synth. and React. Inogr. and Metall-Organic Chem. 1977. V. 7. № 6. P. 581.
26. Braga D., Ripamonti A., Savoia D., Trombini C., Umani-Ronchi A. // J. Chem. Soc. Chem. Commun. 1978. № 21. P. 927.
27. Braga D., Ripamonti A., Savoia D., Trombini C., Umani-Ronchi A. // J. Chem. Soc. Dalton Trans. 1979. № 12. P. 2026.
28. Haaland A. // Acta chem. scand. 1965. V. 19. № 1. P. 41.
29. Koshland D. E., Mgers S. E., Chesick J. P // Acta crystallogr. 1977. V. B33. № 1. P. 2013.
30. Кондаков В. А., Шуваев А. Т., Юматов А. Д., Квачева Л. Д., Новиков Ю. Н., Вольпин М. Е.—Деп. в ВИНИТИ. 1982, № 2858-82.
31. Кондаков В. А., Шуваев А. Т., Кузьмичева А. В., Лапкина Н. Д., Новиков Ю. Н., Вольпин М. Е.—Деп. в ВИНИТИ. 1980, № 3220-80.
32. Allegra G., Casagrande C. T., Immirzi A., Porri L., Vitulli G. // J. Amer. Chem. Soc. 1970. V. 90. № 2. P. 289.
33. Постников В. А. Дис. ... канд. хим. наук. М.: ИНЭОС АН СССР, 1977.
34. Шуваев А. Т., Кондаков В. А., Уваров В. И., Хельмайер К., Лапкина Н. Д., Постников В. А., Новиков Ю. Н., Вольпин М. Е. // Журн. структур. химии. 1979. Т. 20. № 4. С. 736.
35. Татевосян М. М., Землянов А. П., Шуваев А. Т., Квачева Л. Д., Новиков Ю. Н., Вольпин М. Е.—Деп. в ВИНИТИ. 1983, № 5556-83.
36. Shuvaev A. T., Kosinov A. P., Lapkina N. D., Novikov Yu. N., Vol'pin M. E. // Inogr. chim. acta Lett. 1981. V. 54. № 1. P. L35.
37. Коцур А. Г., Шуваев А. Т., Кондаков В. А., Тазыхов М. А., Квачева Л. Д., Новиков Ю. Н., Вольпин М. Е.—Деп. в ВИНИТИ. 1981, № 1368-81.
38. Хельмайер Б. Ю., Любезнова Т. А., Крайzman B. L., Мирмильштейн А. С., Квачева Л. Д., Новиков Ю. Н., Вольпин М. Е. // Изв. АН СССР. Сер. физ. 1985. Т. 49. № 8. С. 1471.
39. Перевалова Э. Г., Решетова М. Д., Грандберг К. И. Методы элементоорганической химии. Железоорганические соединения, ферроцен. М.: Наука, 1983. С. 544.
40. Hoffmann R. // J. Chem. Phys. 1963. V. 39. № 6. P. 1397.
41. Hoffmann R., Lipscomb W. N. // J. Chem. Phys. 1962. V. 36. № 8. P. 2179.
42. Hoffmann R., Lipscomb W. N. // J. Chem. Phys. 1962. V. 36. № 12. P. 3489.

б

зывавшие —

ских орбиталей (COOP) для  
ится к связи Fe—С с одним  
—С с двумя соседними ато-  
с тремя соседними атомами  
, точечная линия относится

в предыдущем случае,  
Другие закономерности  
—С в графитовом слое  
нальный научный фонд  
ий ФРГ за поддержку

Х  
годы  
больы  
структур  
зывае  
 $(C_5Me)_2$   
И;  
котор  
с кос

43. Hoffmann R., Lipscomb W. N. // J. Chem. Phys. 1962. V. 37. № 12. P. 2872.
44. Wrangbo M.-H., Hoffmann R. // J. Amer. Chem. Soc. 1978. V. 100. № 19. P. 6093.
45. Whangbo M.-N., Hoffmann R., Woodward R. B. // Proc. Roy. Soc. London. Ser. A. 1979. V. 366. P. 23.
46. Hoffmann R., Fisel C. R. // J. Amer. Chem. Soc. 1982. V. 104. № 14. P. 3858.
47. Saillard J.-Y., Hoffmann R. // J. Amer. Chem. Soc. 1984. V. 106. № 7. P. 2006.
48. Hoffmann R. // Angew. Chem. in press.
49. Burdett J. K. // Progr. Sol. State Chem. 1984. V. 15. № 1. P. 173.
50. Whangbo M.-H. // Crystall Chemistry and Properties of Materials with Quasi-One-dimensional Structures / Ed. Rouxel J., Reidel, Dordrecht, 1986. P. 27.
51. Kertesz M., Vonderviszt F. // Intercalated Graphite / Ed. Dresselhaus M. S. et al. N. Y.: Horth Holland, 1983. P. 141.

Поступила в редакцию  
21.IV.1988

Н:  
ществе  
больш